

# 金丝猴 (*Rhinopithecus*) 甲状腺的C细胞

张耀平\* 叶智彰 彭燕章

(中国科学院昆明动物研究所)

关键词 金丝猴 甲状腺 C细胞

本文以HE和镀银显示法研究了三种金丝猴甲状腺C细胞的形态与分布。结果表明，金丝猴的C细胞为圆形或椭圆形，主要分布在甲状腺外侧叶上1/3偏内侧的深部，在下1/3外侧缘浅表面也有少量细胞分布。细胞数量少，分布范围窄，主要位于滤泡内和滤泡之间，以单个细胞分布为主，但在滤泡之间偶尔见到有2—3个细胞在一起的。其他部位未见C细胞。三种金丝猴C细胞的形态、数量和分布无明显差异。

甲状腺C细胞为许多脊椎动物降血钙素的合成、贮藏和释放的场所。它们在哺乳动物甲状腺中的形态、分布与功能曾有一些文献报道，但在金丝猴，除本文作者(1984)扼要叙述过甲状腺滤泡旁细胞外，别无记载。从现有的报道看，哺乳动物甲状腺C细胞的分布与数量因动物种类不同而有差异。本文侧重研究了三种金丝猴滤泡旁细胞即C细胞的形态及其分布。

## 材料和方法

材料 共观察了六例金丝猴的甲状腺，其中三例雌性滇金丝猴(*R. bieti*, 成体；1幼体)，一例雄性川金丝猴(*R. roxellanae*, 亚成体)和二例雄性黔金丝猴(*R. brelichi*, 成体)。

方法 每例标本取一侧甲状腺，将之横切成两份，石蜡包埋，作连续切片，厚度为6—7 $\mu$ 。作HE和参考涂翰芬等(1984)镀银显示法染色。

## 结 果

一、形态 金丝猴甲状腺C细胞及其核呈圆形或椭圆形。细胞为圆形，胞核也为圆形；椭圆形细胞，胞核也为椭圆形。在HE染色中，C细胞着色有两种情况。一种是较滤

\* 现在工作单位：中国实验动物云南灵长类中心。

本文1986年8月13日收到，1986年9月12日收到修改稿。

泡细胞为浅，细胞边界不甚清楚；另一种着色较滤泡细胞深，这类细胞界限清楚，胞浆稍带淡红色并含空泡，核染色质聚集成块，质粒较细（图 1）。在银染色中，C 细胞更易辨认，在它们的胞浆内充满棕黑色的，嗜银颗粒。C 细胞比滤泡细胞大，胞体与胞核直径的量度范围分别为 7.4—11.1 微米与 4.4—5.4 微米，而滤泡细胞则分别为 5.9—7.4 微米与 4.4—5.2 微米。由此可见，C 细胞的核浆比例大于滤泡细胞。

**二、分布** 金丝猴甲状腺的 C 细胞处于腺体较深的部位，从甲状腺外侧叶上部 1/3 偏内侧处向下外侧方向至腺体下部 1/3 外侧缘的近表面作弧形分布（图 2）。在其他部位，包括腺体后面的浅表部、内侧缘、上下极、峡部和甲状旁腺均未发现 C 细胞。经观察的结果表明，金丝猴甲状腺的 C 细胞数量少，分布也局限于上述范围，其中又以分布于上部者较多，分布面也稍宽，向下则逐渐减少，在下部近表面处只偶尔见到少数几个。C 细胞所有位置有的在滤泡内、有的在滤泡旁和滤泡之间（图 3、4），但较多的是分布在滤泡内和滤泡之间。除了滤泡之间的 C 细胞有时为 2—3 个一组分布外，其余部位以单个细胞分布为主。

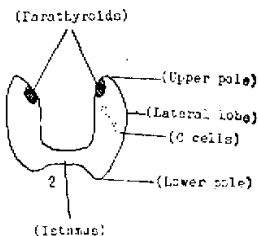


图 2 黑金丝猴甲状腺 C 细胞分布

## 讨 论

甲状腺 C 细胞又称滤泡旁细胞 (parafollicular cell)、降 (血) 钙素细胞 (calcitonin cell)、含降 (血) 钙素细胞 (calcitonin-containing cell)、主质细胞 (parenchymatous cell) 和 *protoplasmareiche* cell 等。C 细胞起源于甲状腺滤泡上皮。首先发现 C 细胞的当推 Nonidez (1932)，他在狗的甲状腺内发现一种大的有别于滤泡细胞的细胞，这些细胞含有嗜银颗粒。后来人们称之为甲状腺 C 细胞。经研究，哺乳动物甲状腺 C 细胞在光学显微镜下的形态是相似的 (Teitelbaum *et al.*, 1971)。自 60 年代确定 C 细胞产生降血钙素以来，广泛地引起了科学家的重视，纷纷采用不同方法研究人和其他一些哺乳动物的甲状腺 C 细胞 (Roediger, 1973; McMillan *et al.*, 1974; Wolfe *et al.*, 1975; Kameda *et al.*, 1982)。但迄今为止，关于非人灵长类的 C 细胞的研究报道仍不多。Pilgrim (1970) 提到了猴子甲状腺 C 细胞的分布。Das 等 (1978) 也研究了正常成年猴的甲状腺 C 细胞的分布，并对细胞和滤泡细胞作了测量和对比。Geelhoed *et al.* (1981) 用免疫过氧化物酶 (immunoperoxidase) 反应法证实了 Das 等的结果，而且较

详细地阐明了猕猴甲状腺C细胞的定位和分布类型。

根据前人的研究报道，人和恒河猴(猕猴)以及某些哺乳动物的甲状腺C细胞的分布有一定的部位。金丝猴C细胞的分布与人、猕猴以及其他哺乳动物相比，既有相同之点又有不同之处。金丝猴的C细胞主要以单个细胞分布为主出现于甲状腺滤泡内和滤泡之间，这与人和猕猴是有所不同的，特别是与狗和豚鼠有明显的差别。金丝猴的C细胞从数量看，似与猕猴的相近，都较少。但我们测得的绝对量度比Das等在猕猴中测得的为小，这可能与动物种类有关，不同的动物具有不同的量度，也可能和采用的固定剂种类与处理过程有关。但无论那种动物，甲状腺C细胞比滤泡细胞约大1.5—2.0倍这点是一致的。在我们HE制片中出现着色深浅不一致的C细胞，推测这与它们所处的生理状态或发育程度有一定的关系。至于三种金丝猴甲状腺C细胞的形态、数量和分布则均无明显差异。

### 参 考 文 献

- 张耀平等 1984 金丝猴(*Rhinopithecus*)的甲状腺和甲状旁腺。解剖学报15(2): 216—221  
涂翰芬等 1984 狗甲状腺C细胞的几种镀银显示法。解剖学通报7(3): 266—268  
Das, V. K. et al. 1978 Distribution of calcitonin cells in the thyroid glands of normal adult rhesus monkey *Macaca mulatta*. *Experientia*, 34:541—542  
Geelhoed, G. W. et al. 1981 Calcitonin studies in the rhesus monkey. *World J. Surg.*, 5:579—586  
Kameda, Y. et al. 1982 Somatostatin immunoreactive C cells in thyroid glands from various mammalian species. *Anat. Rec.*, 204:161—170  
McMillan, P. J. et al. 1974 Distribution of calcitonin-containing cells in the human thyroid. *Am. J. Anat.*, 140:73—80  
Nonidez, J. F. 1932 The origin of the ‘parafollicular’ cell, a second epithelial component of the thyroid gland of the dog. *Am. J. Anat.*, 49:479—505  
Pilgrim, C. 1970 The parafollicular cells (C) of the thyroid gland. *Dts. Med. Wschr.*, 95:1074—1076  
Roediger, W. E. W. 1973 A comparative study of the normal human neonatal and the canine thyroid C cell. *J. Anat.*, 115(2):225—276  
Teitelbaum, S. L. et al. 1971 Parafollicular cells in the normal human thyroid. *Nature*, 230:334—335  
Wolfe, H. J. et al. 1975 Distribution of calcitonin-containing cells in the normal neonatal human thyroid gland: A correlation of morphology with peptide content. *J. Clin. Endocr. Metab.*, 81:1076—1081

## C CELLS IN THE THYROID GLANDS OF *RHINOPITHECUS*

Zhang Yaoping Ye Zhizhang Peng Yanzhang

(Kunming Institute of Zoology, Academia Sinica)

The distribution, morphology and numbers of C cells in the thyroids from three kinds of *Rhinopithecus* distributing in our country were investigated. The results are as follows:

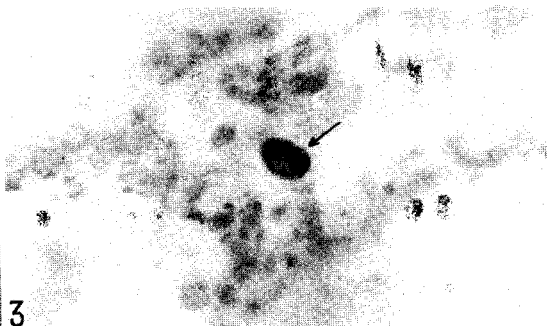
The numbers of C cells in the thyroids of snub-nosed monkey are very uncommon. C cells are concentrated in a near medial region of the upper 1/3 of the thyroid lateral lobes bilaterally, and scatter low and laterally until the superficial surface of the lower 1/3 of the thyroid lateral margin. The anterior posterior surfaces, the upper and lower lobes and isthmus are completely devoid of C cells, the parathyroid also lacks C cells. C cells located in the upper zone of the thyroid are present in the deep part of the gland. C cells are round or oval in shape, and are larger than that of the follicular cells of the thyroids. They range from 7.4 to 11.1  $\mu\text{m}$  and their nuclei from 4.4 to 5.4  $\mu\text{m}$ , whereas the follicular cells and nuclei range from 5.9 to 7.4  $\mu\text{m}$  and from 4.4 to 5.2  $\mu\text{m}$  respectively. C cells speard in the intrafollicular and intersollicular positions in mainly single cell, but in the parafollicular site they are also found occasionally. It seems that there are two types of C cells in the thyroids when the sections stain with hematoxylin eosin. One of them is stained stronger, the other-lighter. It is possible for them to explain that these cells are in the different physiological conditions or in the different development stages. The significant differences in the shape, numbers distribution of C cells in the thyroid glands from three snub-nosed monkeys have not been found.

Key words *Rhinopithecus* Thyroid gland C cells

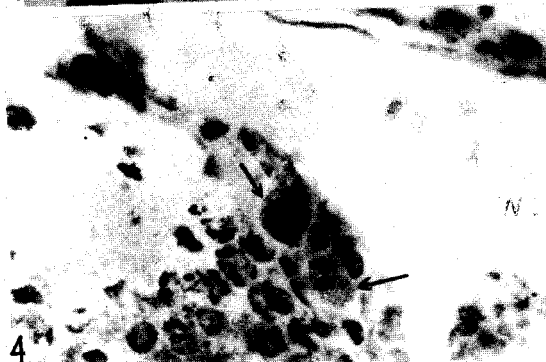
Zhang Yaoping et al.: C Cells in the Thyroid Glands  
of *Rhinoqithecus*



1



3



4

Fig.1 The intrafollicular C cell (arrow) within the thyroid gland of *R. brelichi*. The nucleal chromatin is thinner and cytoplasm is lighter.  
HE.  $\times 320$

Fig.3 The interfollicular C cell (arrow) within the thyroid gland of *R. bieti*. Silver impregnation.  $\times 320$

Fig.4 The parafollicular C cells (arrows) within the thyroid gland of *R. brelichi*. Silver impregnation.  $\times 320$

Xu Kefen et al.: The Karyotype of Whooper swan

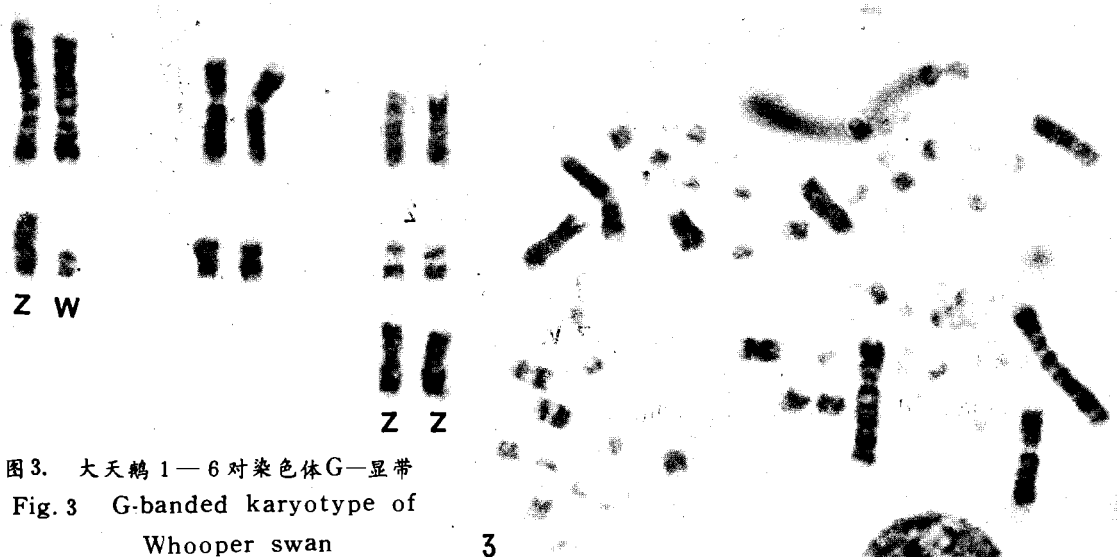


图3. 大天鹅 1—6 对染色体G—显带

Fig. 3 G-banded karyotype of

Whooper swan